

ΤΟ ΙΣΟΤΟΠΙΚΟ ΓΕΩΘΕΡΜΟΜΕΤΡΟΘΕΙΙΚΩΝ-ΝΕΡΟΥ: ΜΕΡΙΚΑ ΠΑΡΑΔΕΙΓΜΑΤΑ ΕΦΑΡΜΟΓΗΣΣΕ ΕΛΛΗΝΙΚΑ ΓΕΩΘΕΡΜΙΚΑ ΠΕΔΙΑ

E. Νιότσικα, J. Michelot και Δ. Πουτούκης*

ΣΥΝΟΨΗ

Το ισοτοπικό γεωθερμόμετρο, που βασίζεται στην αρχή της ισορροπίας του ^{18}O ανάμεσα στα υδατικά θειϊκά και στο νερό, αποτελεί ένα χρήσιμο μέσο για την αξιολόγηση της θερμοκρασίας του βαθιού ταμιευτήρα. Δευτερογενή φαινόμενα όμως επηρέαζουν τις τιμές του ^{18}O των θειϊκών και του νερού. Αυτά τα φαινόμενα πρέπει να εξακριβωθούν και αν είναι δυνατόν να ποσοτικοποιηθούν πριν τη χρήση του ισοτοπικού γεωθερμομέτρου θειϊκών - νερού.

Με σκοπό να διερευνηθεί η συμπεριφορά του ισοτοπικού γεωθερμομέτρου σε διαφορετικές γεωθερμικές συνθήκες πάρθηκαν θερμά νερά από διαφορετικές περιοχές της Βόρειας και νησιωτικής Ελλάδας.

Η χρήση φυσικών σταθερών ιχνηθετών, χημικών (Br^- , Cl^-) και ισοτοπικών [^{18}O , (H_2O) , ^{2}H , ^{34}S , $^{18}\text{O}(\text{SO}_4^2-)$], επέτρεψε τόσο τον καθορισμό της προέλευσης του νερού και των υδατικών θειϊκών δύο και την αναγνώριση των φαινομένων που διαφοροποιούν την αρχική ισοτοπική τους σύνθεση.

Αυτά τα φαινόμενα μπορεί να είναι η ανάμιξη (Πολύχνιτος, εξάτμιση ('Άγιος Φωκάς,)), οξειδοαναγωγή (Λαγκαδάς, Βόλβη, Ελαιοχώρια, Νιγρίτα) και ισορροπία $\text{SO}_4^{2-} - \text{H}_2\text{O}$ (Πολύχνιτος, 'Άγιος Φωκάς).

Για τις περιοχές Λαγκαδά, Βόλβη, Ελαιοχώρια η αδυναμία να αναγνωρισθούν με σιγουριά και να ποσοτικοποιηθούν επακριβώς τα παραπάνω φαινόμενα συνιστά να λαμβάνονται με επιφύλαξη οι θερμοκρασίες που προτείνει το ισοτοπικό γεωθερμόμετρο. Αντίθετα στις περιοχές Πολύχνιτος, 'Άγιος Φωκάς, Νιγρίτα η συνδυασμένη χημική και ισοτοπική μελέτη καθιστά δυνατή την απόδοση της πιθανής θερμοκρασίας του γεωθερμικού συλλέκτη.

ABSTRACT

Based on the principle of the isotopic equilibrium between aqueous sulphate and water, the ^{18}O geothermometer is a useful tool for the evaluation of geothermal reservoir temperatures. However, secondary processes may affect the ^{18}O contents of sulphate and/or water subsequently to the equilibration. These processes must be indentified and, as far as possible, quantified before applying the sulfate-water geothermometer.

Water sampling in Northern and insular Greece have been carried out in order to examine the behaviour of the sulfate-water geothermometer in various geothermal environments.

Natural indicators, both chemical (Br^- , Cl^-) and isotopic (^{18}O and ^{2}H in water, ^{18}O and ^{34}S in sulfate) have been used to define the origin of water and of aqueous sulfate and to detect the phenomena modifying their initial isotopic

* Lab. d' Hydrologie et de Géochimie Isotopique, Univ.Paris-Sud, Bât.504, 91405 Orsay Cedex, France. Present address: 10 Gr. Zaliki St., 53146 Thessaloniki, Greece.

composition.

These phenomena may be mixing (Polichnitos, evaporation (Aghios Fokas), oxidation-reduction (Lagada, Volvi, Eleochoria, Nigrita) and $\text{SO}_4\text{-H}_2\text{O}$ equilibration (Polihnitos, Aghios Fokas).

For the areas of Lagada, Volvi and Eleochoria it is advisable to keep ones reservation concerning the temperatures suggested by the sulfate-water geothermometer, given the detection of the above mentioned processes and the inability to precisely quantify their effects. On the contrary, the combined chemical and isotopic study has confirmed the temperatures estimates to be reliable in the cases of Polichnitos, Aghios Fokas, and Nigrita.

1. ΕΙΣΑΓΩΓΗ

Η γνώση της θερμοκρασίας του βαθιού ρεσερβουάρ ενός γεωθερμικού συστήματος είναι απαραίτητη στη διερεύνηση και στην εκτίμηση του γεωθερμικού δυναμικού μιας περιοχής.

Διάφορα γεωθερμόμετρα χρησιμοποιούνται γι' αυτό το σκοπό. Τα χημικά γεωθερμόμετρα (Na-K , Na-Li , Na-K-Ca , SiO_2), βασισμένα στα φαινόμενα της χημικής ισορροπίας μπορούν να δώσουν εσφαλμένα αποτελέσματα όταν διάφορες φυσικοχημικές διεργασίες επηρεάζουν τα ρευστά κατά την άνοδό τους.

Το ισοτοπικό γεωθερμόμετρο $\text{SO}_4\text{-H}_2\text{O}$, που βασίζεται σε μια διαφορετική αρχή, την ισορροπία του ^{18}O ανάμεσα στα υδατικά θειϊκά και στο νερό, παρουσιάζεται σαν ένα αναγκαίο εργαλείο στην αξιολόγηση της θερμοκρασίας του βαθιού ταμιευτήρα ενός γεωθερμικού πεδίου. Τα αποτελέσματα τα οποία δίνει είναι μερικές φορές διαταραγμένα από δευτερογενή φαινόμενα, που όμως είναι διαφορετικά από αυτά που επηρεάζουν τα χημικά γεωθερμόμετρα.

Με σκοπό τη σωστή χρήση του ισοτοπικού γεωθερμόμετρου $\text{SO}_4\text{-H}_2\text{O}$ εξετάζονται μερικές γεωθερμικές περιοχές της Ελλάδας (Νιγρίτα, Λαγκαδάς, Βόλβη, Ελαιοχώρια, Πολύχνιτος και Άγιος Φωκάς) όπου η ισοτοπική σύνθεση των δειγμάτων αντανακλά τα κύρια φαινόμενα που επηρεάζουν αυτό το γεωθερμόμετρο.

2. ΤΟ ΙΣΟΤΟΠΙΚΟ ΓΕΩΘΕΡΜΟΜΕΤΡΟ $\text{SO}_4\text{-H}_2\text{O}$

2.1. Αρχή λειτουργίας

Το ισοτοπικό γεωθερμόμετρο βασίζεται στην ισορροπία των ισοτόπων του οξυγόνου ανάμεσα στο νερό και στα υδατικά θειϊκά.

Η ισοτοπική εξίσωση που εκφράζει αυτή την κατανομή εξαρτάται από τη θερμοκρασία και είναι η παρακάτω:



Οι εξισώσεις που δένουν την ισοτοπική κλασμάτωση (α) αυτής της ισορροπίας με τη θερμοκρασία είναι:

$$(1) 10^3 \ln \alpha = 3.251 (10^6 / T^2) - 5.6 \quad (\text{Lloyd}, 1968)$$

$$(2) 10^3 \ln \alpha = 2.88 (10^6 / T^2) - 4.1 \quad (\text{Mizoutani and Rafter}, 1969)$$

όπου $\alpha (\text{SO}_4\text{-H}_2\text{O}) = (^{18}\text{O}/^{16}\text{O}) \text{SO}_4 / (^{18}\text{O}/^{16}\text{O}) \text{H}_2\text{O}$ ή

$$\alpha (\text{SO}_4\text{-H}_2\text{O}) = 1 + \delta \text{ SO}_4 / 1 + \delta \text{ H}_2\text{O}$$

$$\delta (\%) = ((\text{Rδείγματος} / \text{Rπρότυπου}) - 1) \cdot 10^3$$

$$R = ^{18}\text{O} / ^{16}\text{O}$$

Η ισορροπία επιτυγχάνεται τόσο πιο γρήγορα όσο υψηλότερη είναι η θερμοκρασία και το pH όξινο. Ενδεικτικά αναφέρεται ότι για ρευστά υψηλής ενθαλπίας η ισορροπία επιτυγχάνεται μετά πέντε χρόνια για $t^\circ \approx 200^\circ \text{C}$ και $\text{pH} = 5.5$, αντίθετα για έναν ταμιευτήρα του οποίου η θερμοκρασία είναι 100°C και το $\text{pH} = 7$ χρειάζο-

νται 500 χρόνια (Lloyd, 1968). Η ισορροπία μπορεί να απαιτεί χρόνο για να πραγματοποιηθεί αλλά διατηρείται κατά την άνοδο των ρευστών (ο χρόνος ισορροπίας είναι πολύ μεγαλύτερος από τόν χρόνο της ανόδου του θερμού νερού), όμως άλλα φαινόμενα μπορούν να επηρεάζουν το ^{18}O του νερού και το ^{18}O των υδατικών θειεικών.

Τα πρότυπα που χρησιμοποιούνται για τα ισότοπα του νερού και του SO_4^{2-} είναι το SMOW (Standard Mean Ocean Water), ενώ για το ^{34}S γίνεται χρήση του CD (Canyon Diablo).

2.2. Φαινόμενα που επηρεάζουν το ισοτοπικό γεωθερμικέτερο

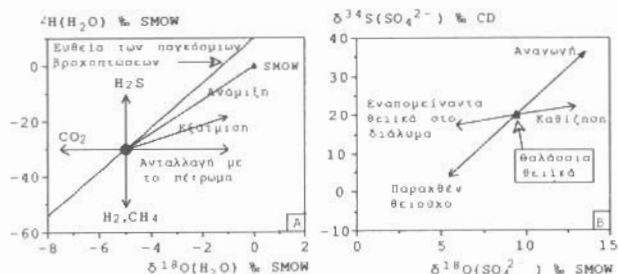
Τα σπουδαιότερα φαινόμενα που επηρεάζουν το ^{18}O των υδατικών θειεικών και του νερού συνοψίζονται στα σχήματα 1A και 1B και είναι:

α) Ανάμιξη: η ανάμιξη του γεωθερμικού ρευστού με νερά άλλου τύπου προκαλεί μια αλλαγή στην αρχική ισοτοπική του σύνθεση που εξαρτάται από το ποσοστό ανάμιξης και την ποσότητα των υδατικών θειεικών (Dotsika, 1991, Dotsika et Michelot, 1992).

β) Ισοτοπική ανταλλαγή ανάμεσα σε νερό-πέτρωμα και νερό-αέρια:

- νερό-πέτρωμα: Η επίτευξη της ισορροπίας νερού-πετρώματος στη θερμοκρασία του γεωθερμικού ταμιευτήρα (Craig, 1963, Gonfiantini et al., 1973) επηρεάζει κυρίως το ^{18}O του νερού (τα πετρώματα περιέχουν μικές ποσότητες ^2H). Η ισοτοπική ανταλλαγή γίνεται σημαντική σε υψηλές θερμοκρασίες και εμπλουτίζει το οξυγόνο του νερού με βαριά ισότοπη (Panichi et al., 1974, Michelot, 1993).

- νερό-αέρια: Η ανταλλαγή νερού - CO_2 ($\text{CO}_2/\text{H}_2\text{O} > 1$) (Bottinga, 1968, O' Neil et al., 1975) και νερού με H_2 ή CH_4 επιφέρει μια ελάττωση στο ^{18}O και ^2H αντίστοιχα του νερού. Αντίθετα η αλληλεπίδραση με το H_2S αυξάνει τα βαριά ισότοπα του υδρογόνου του νερού.



Εξ. 1: Κύριες αιτίες μεταβολής της ισοτοπικής σύνθεσης των σταθερών ισοτόπων του νερού (A) (Fontes, 1976) και των υδατικών θειεικών (B) (Fontes and Michelot, 1983).

Fig. 1: The main modifications of the isotopic compositions of the stable isotopes of water (A) (Fontes, 1976) and of the aqueous sulphates (B) (Fontes and Michelot, 1983).

γ) Εξάτμιση-βρασμός: Η εξάτμιση στην επιφάνεια ή ο βρασμός του γεωθερμικού νερού αυξάνει την τιμή του οξυγόνου-18 του νερού. Ο διαχωρισμός αέριας και υγρής φάσης κατά την άνοδο του ρευστού προκαλεί μια ισοτοπική κλασμάτωση με συμπύκνωση των ελαφρών ισοτόπων στην αέρια φάση. Το υγρό που απομένει εμπλουτίζεται τότε σε βαριά ισότοπα για όλες τις θερμοκρασίες κάτω των 374°C (κριτικό σημείο του καθαρού νερού) (Bottinga and Craig, 1968, Giggenbach, 1971, Arnorsson, 1975).

δ) Καθίζηση εβαποριτών: Η καθίζηση του ανυδρίτη και της γύψου προκαλεί μείωση του ^{18}O των υδατικών θειεικών (Kusakabe and Chiba, 1979).

ε) Οξείδωση των θειούχων: Πολλοί μηχανισμοί, χημικοί ή/και βιολογικοί,

παίρνουν μέρος στη διαδικασία της οξείδωσης των θειούχων σε θειϊκά. Η τιμή του ^{18}O των SO_4^{2-} θα εξαρτάται τότε από την ισοτοπική σύνθεση και το βαθμό συμμετοχής του ^{18}O του διαλυμένου οξυγόνου και του οξυγόνου του νερού και από τους συντελεστές κλασμάτωσης $\text{SO}_4-\text{H}_2\text{O}$ και SO_4-O_2 .

στ) Αναγωγή: Η μερική αναγωγή των θειϊκών προκαλεί ένα σημαντικό εμπλουτισμό των ισοτόπων των υδατικών θειϊκών που απέμειναν στο διάλυμα.

3. ΑΠΟΤΕΛΕΣΜΑΤΑ ΚΑΙ ΣΥΖΗΤΗΣΗ

3.1. ΠΡΟΕΛΕΥΣΗ ΤΩΝ ΥΔΑΤΙΚΩΝ ΘΕΙΪΚΩΝ

Με σκοπό να διερευνηθεί η συμπεριφορά του ισοτοπικού γεωθερμομέτρου σε διάφορες γεωθερμικές συνθήκες συλλέχθηκαν δείγματα νερού από τις περιοχές Λαγκαδά (Θεσ/νίκη), Βόλβη (Θεσ/νίκη), Ελαιοχώρια (Χαλκιδική), Νιγρίτα (Σέρρες), Αγιος Φωκάς (Κως) και Πολύχνιτος (Λέσβος) (Σχ. 2).

Οι τιμές των σταθερών ισοτόπων των υδατικών θειϊκών των δειγμάτων καθώς επίσης και αυτές του θαλάσσιου νερού παρατίθενται σε ένα διάγραμμα $\delta^{34}\text{S}$ σε σχέση με το $\delta^{18}\text{O}$ (Σχ. 3). Η ισοτοπική σύνθεση των θειϊκών των διαλυμάτων είναι το αποτέλεσμα των παρακάτω διεργασιών: οξειδοαναγωγή, ανάμιξη, ανταλλαγή νερού-πετρώματος, ισορροπία και συμμετοχή θειϊκών θαλάσσιας προέλευσης.

Λαγκαδάς, Βόλβη, Ελαιοχώρια: Τα δείγματα που προέρχονται από τις περιοχές Λαγκαδά, Βόλβη, Ελαιοχώρια παρουσιάζουν ομοιόμορφες τιμές του $\delta^{34}\text{S}$ οδηγώντας στο συμπέρασμα ότι όλα τα διαλύματα έχουν την ίδια πηγή προέλευσης των θειϊκών. Συμβολή θαλάσσιων θειϊκών δεν διαφαίνεται αφενός διότι οι λόγοι των διατηρημένων χημικών ιχνηθειών (concentrative ion) BR^-/Cl^- ($6 \cdot 10^{-3}$ μέχρι $1.5 \cdot 10^{-2}$), Na^+/Cl^- (6 μέχρι 10) δεν συμφωνούν με αυτούς της θαλάσσας αλλά και γιατί τα σταθερά ισότοπα του νερού έχουν καθαρά μετεωρική προέλευση (Πουτούκης και Νιότσικα, 1993).

Επομένως η διαμόρφωση των τιμών του $\delta^{18}\text{O}(\text{SO}_4^{2-})$ καθορίζεται από το φαινόμενο της οξείδωσης θειούχων αλάτων της Σερβομακεδονικής μάζας ($\delta^{34}\text{S} = 0$ μέχρι 7‰ CD, Frei, 1992) σε θειϊκά (Σχ. 3). Επειδή όμως η οξείδωση δεν επηρεάζει τις ισοτοπικές τιμές του θείου-34, οι υψηλές του περιεκτικότητες υποδεικνύουν τη μεσολάβηση του φαινούμενου της αναγωγής (Πουτούκης και Νιότσικα, 1993).

Πράγματι ο λόγος εμπλουτισμού [$\delta^{34}\text{S}(\text{SO}_4^{2-})/\delta^{18}\text{O}(\text{SO}_4^{2-}) \approx 4$] είναι σύμφωνος με αυτόν που προτείνεται από τη διεθνή βιβλιογραφία για τη διαδικασία της αναγωγής (Rafter and Mizoutani, 1967). Η διάσπαρτη όμως κατανομή των σημείων, που εκπροσωπούν τα δείγματα κατά μια θετική τάση με μια αρκετά σημαντική κλίση υποδεικνύει τη μεσολάβηση διαφόρων σταδίων αναγωγής της ίδιας πηγής θειϊκών. Ήταν η αναγωγή που υπέστη το δείγμα Ελαιοχωρίων φαίνεται να είναι λιγότερο εξελιγμένη απ' ότι των δειγμάτων Λαγκαδά και Βόλβης (Σχ. 3).

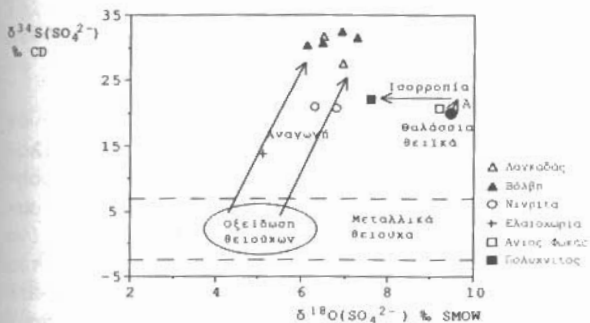
Νιγρίτα: Οι τιμές $\delta^{34}\text{S}$ των δειγμάτων Νιγρίτας μπορούν να αποδοθούν σε ιζηματογενή θαλάσσια προέλευση (διάλυση τριτογενών ή τεταρτογενών θειϊκών ορυκτών) ή σε συμμετοχή θαλάσσιων θειϊκών. Η διάλυση ενός θειϊκού άλατος δεν προκαλεί ισοτοπική κλασμάτωση και επομένως οι ισοτοπικές τιμές των υδατικών θειϊκών αντανακλούν τις τιμές του ιζήματος. Στην περίπτωση μας η τιμή του $\delta^{34}\text{S}$ συμφωνεί με τα παραπάνω, αυτή όμως του $\delta^{18}\text{O}(\text{SO}_4^{2-})$ είναι κατά πολύ χαμηλότερη, γεγονός που θα μπορούσε να εξηγηθεί με την ισορροπία $\text{H}_2\text{O}-\text{SO}_4^{2-}$. Στο μονιέλο αυτό δεν φαίνεται να συνηγορεί η γεωλογία της περιοχής, (σειρά Βερτίσκου και ιζήματα της λεκάνης Στρυμώνα), αλλά και οι λόγοι Br/Cl ($5 \cdot 10^{-3}$) και Ca/SO_4 (1,35).

Επομένως οι παραπάνω ισοτοπικές τιμές είναι πιθανό να καθορίζονται από το φαινόμενο της οξείδωσης θειούχων αλάτων, που συναντιώνται στη σειρά Βερτίσκου (Kockel et al., 1977, Frei, 1992), και της αναγωγής τους μέσα στο γεωθερμικό σύστημα, όπως συμβαίνει στην περίπτωση Λαγκαδά και Βόλβης. Ο βαθμός όμως αναγωγής φαίνεται να είναι λιγότερο ανεπιγενένος (κατά 10% για το $\delta^{34}\text{S}$) απ' ότι αυτός των ρευστών της λεκάνης Μυγδονίας (Σχ. 3). Σ' αυτή την περίπτωση είναι α-



1: Νívrítia
2: Bólbri
3: Láygakádás
4: Elaiokámpia
5: Póuloukínitos
6: Agíos Phákás

Σχ. 2: Περιοχές δειγματοληψίας.
Fig. 2: Location of sampling sites.



Σχ. 3: $\delta^{34}\text{S}$ σε σχέση με το $\delta^{18}\text{O}(\text{SO}_4^{2-})$. A: Αναγωγή.
Fig. 3: $\delta^{34}\text{S}$ versus $\delta^{18}\text{O}(\text{SO}_4^{2-})$.
A: Reduction.

δύνατο να προσδιοριστεί ποσοτικά η παρεμβολή της οξειδοαναγωγής και ενδεχομένως της ισορροπίας $^{18}\text{O}(\text{SO}_4\text{-H}_2\text{O})$, αν βέβαια έλαβε μέρος. Με τα παρόντα αναλυτικά δεδομένα η δεύτερη υπόθεση φαίνεται να είναι η επικρατέστερη.

Πολύχνιτος: Τα ισότοπα των υδατικών που μετρήθηκαν στα δείγματα του Πολύχνιτου παρουσιάζουν έναν ελαφρό εμπλουτισμό του $\delta^{34}\text{S}$ σε σχέση με τα θαλάσσια θειϊκά απ' όπου προέρχονται (Br/Cl δειγμάτων = Br/Cl) (Michelot et al., 1993). Αυτή η αύξηση συνοδεύεται από μικρή μείωση του λόγου SO_4/Cl (από 0.14 σε 0.10) σε σχέση πάντα με το θαλάσσιο νερό γεγονός που δείχνει ότι μια ελαφρά αναγωγή έλαβε μέρος. Οι τιμές αντίθετα του οξυγόνου-18 φαίνεται να είναι το αποτέλεσμα της ισορροπίας των υδατικών θειϊκών με το νερό.

Άγιος Φωκάς: Οι τιμές του δείγματος βρίσκονται σε άμεση γειτνίαση με τις τιμές των θαλάσσιων θειϊκών, δείχνοντας ότι τα υδατικά θειϊκά που περιέχει είναι θαλάσσια μη τροποποιημένα. Η θέση του δείγματος στο σχήμα 3 υποδηλώνει μια ελαφρά ελάττωση του ^{18}O στο όριο του ποσοστού λάθους της μέτρησης, που μπορεί να οφείλεται στην ισορροπία $\text{SO}_4\text{-H}_2\text{O}$. Αυτή η τελευταία αν υπάρχει είναι σίγουρα πολύ περιορισμένη.

3.2. Γεωθερμομετρία

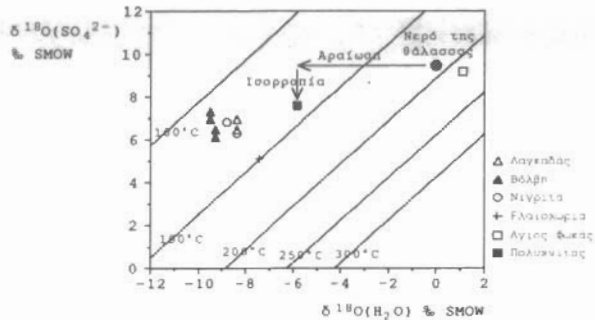
Στο διάγραμμα $\delta^{18}\text{O}(\text{SO}_4^{2-})$ σε σχέση με το $\delta^{18}\text{O}(\text{H}_2\text{O})$ (Σχ. 4) τοποθετήθηκαν οι τιμές του συνόλου των δειγμάτων. Στον πίνακα 1 δίνονται οι θερμοκρασίες που προτείνουν τα χημικά και ισοτοπικά γεωθερμόμετρα για τις περιοχές έρευνας.

Από την δλη μελέτη φαίνεται ότι οι ισοτοπικές τιμές των θειϊκών των δειγμάτων κάθε περιοχής υπόκεινται σε τροποποίησεις από δευτερογενή φαινόμενα. Η κριτική ανάλυση αυτών των φαινομένων θα επιτρέψει την αξιολόγηση του γεωθερμομέτρου $\text{SO}_4\text{-H}_2\text{O}$ και την προσέγγιση της θερμοκρασίας του βαθιού συλλέκτη.

3.2.1. Διεργασία της οξειδοαναγωγής

Η χρήση του ισοτοπικού γεωθερμομέτρου $\text{SO}_4\text{-H}_2\text{O}$ στα πεδία Λαγκαδά Βόλβης και Ελαιοχωρίων έδωσε θερμοκρασίες της τάξης των 110, 100 και 140°C αντίστοιχα για

Ψηφιακή Βιβλιοθήκη "Θεόφραστος" - Τμήμα Γεωλογίας. Α.Π.Θ.



Σχ. 4: $\delta^{18}\text{O}(\text{SO}_4^{2-})$ σε σχέση με $\delta^{18}\text{O}(\text{H}_2\text{O})$

Fig. 4: $\delta^{18}\text{O}(\text{SO}_4^{2-})$ versus $\delta^{18}\text{O}(\text{H}_2\text{O})$

τον βαθύ συλλέκτη (Σχ. 4). Οι θερμοκρασίες αυτές θα πρέπει να ληφθούν υπόψη με επιφύλαξη, διότι η μελέτη της προέλευσης των υδατικών θειϊκών (§ 3.1.) έδειξε τη μεσολάβηση της αναγωγής.

Έτσι στην περίπτωση που διαπιστώνεται η συμμετοχή τέτοιων δευτερογενών φαινομένων είναι αδύνατο να προσδιοριστούν ποσοτικά οι παρεμβολές που οφείλονται σε αυτές τις διεργασίες και επομένως να εξακριβωθεί εάν η ισορροπία προηγείται ή ακολουθεί της διαδικασίας της αναγωγής. Ωστόσο οι παραπάνω θερμοκρασίες θα μπορούσαν να θεωρηθούν ενδεικτικές των περιοχών και να αποτελέσουν ένα μέτρο σύγκρισης με τις θερμοκρασίες που προτείνουν τα χημικά γεωθερμόμετρα σύγκρισης με τις θερμοκρασίες των 110°C και 100°C που υπολογίστηκαν για την περιοχή Λαγκαδά και Βόλβης αντίστοιχα περιλαμβάνονται ανάμεσα σε αυτές που προτείνονται από τα χημικά γεωθερμόμετρα του SiO₂-Na-K-Ca (Πίνακας 1).

3.2.2. Θειϊκά θαλάσσια προέλευσης

Μία από τις μεγαλύτερες αιτίες διαταραχής του isotopic geothermometers εί-

Πίν. 1: Εκτίμηση των θερμοκρασιών (°C) από χημικά και isotopic geothermometers.
 Λ: Λαγκαδάς, Β: Βόλβη, Ε: Ελαιοχώρια, Ν: Νιγρίτα, ΑΦ: Άγιος Φώκας, Π: Πολύχνιτος. (1): Fournier, 1981, (2): Arnorsson et al., 1983, (3): Fouillac and Michard, 1981, (4): Fournier and Truesdell, 1973, (5): Lloyd, 1968, Mizutani and Rafter, 1969,

Tab. 1: Temperatures (°C) estimated from chemical and isotopic geothermometers.
 Λ: Lagadsas, B: Volvi, E: Eleochoria, N: Nigrita, ΑΦ: Agios Focas, Π: Polichnitos. (1): Fournier, 1981, (2): Arnorsson et al., 1983, (3): Fouillac and Michard, 1981, (4): Fournier and Truesdeill, 1973, (5): Lloyd, 1968, Mizutani and Rafter, 1969.

| Δείγμα (1) | SiO ₂ | Na-K (2) | Na-Li (3) | Na-K-Ca (4/3) (4) | Na-K-Ca (1/3) (4) | ¹⁸ O(SO ₄ -H ₂ O) (5) |
|---------------|------------------|-------------|--------------|----------------------|----------------------|---|
| Λ1 | 78 | 193 | 170 | 89 | | 111 |
| Λ2 | 77 | 110 | 65 | 58 | | 116 |
| Β1 | 94 | 69 | | | 116 | 98 |
| Β2 | 91 | 72 | | | 122 | 102 |
| Β3 | 89 | 67 | | | 114 | 107 |
| Β4 | 86 | 62 | | | 111 | 111 |
| Ε | 102 | | 132 | | 313 | 144 |
| Ν1 | 137 | 229 | 136 | | 200 | 116 |
| Ν2 | 138 | 231 | 83 | | 201 | 126 |
| ΑΦ | 63 | 152 | | | 200 | 213 |
| Π | 120 | 138 | 223 | | 171 | 137 |

Ψηφιακή Βιβλιοθήκη "Θεόφραστος" - Τμήμα Γεωλογίας, Α.Π.Θ.

ναι η θαλάσσια συμμετοχή στα γεωθερμικά ρεζερβουάρ, διότι η εφαρμογή και μόνο του γεωθερμομέτρου δίνει για ένα κρύο θαλάσσιο νερό τη θερμοκρασία των 197°C. Οι ισοτοπικές τιμές του δείγματος Αγίου Φωκά δείχνουν να διαχωρίζεται ελαφρά από το θαλάσσιο νερό ως προς την τιμή του $\delta^{18}\text{O}$ (H_2O) (Σχ. 4).

Οι συγκεντρώσεις των ισοτόπων του O^{18} (1.1‰) και H^2 (3.1‰) του νερού και αυτές των διαφόρων ιόντων ($\text{Br}/\text{Cl} = 3.4 \cdot 10^{-3}$, $\text{Na}/\text{Cl} = 0.65$) υποδεικνύουν ότι προέρχονται από την εξάτμιση θαλάσσιου νερού συνοδευμένης ενδεχομένως από την ισορροπία του O^{18} με τα ορυκτά.

Πράγματι, η θερμοδυναμική μελέτη έδειξε ένα αρκετά υψηλό $p\text{CO}_2$ ($p\text{CO}_2 = 0.41$) (Truesdell and Jones, 1974).

Εάν η εξάτμιση έγινε κατά τρόπο συνεχή και παραβλέψουμε την πιθανή ανταλλαγή νερού-πετρώματος, η περιεκτικότητα σε H^2 εκφράζεται από την εξίσωση του Rayleigh (Fritz and Fontes, 1980):

$$\delta - \delta_0 = \epsilon \ln f$$

όπου δ η τιμή του H^2 και του O^{18} του νερού που απέμεινε

δ η τιμή H^2 και του O^{18} αρχικού νερού

ϵ ο συντελεστής κλασμάτωσης των ισοτόπων του νερού και

$f = \text{Cl}^-/\text{θαλάσσιου νερού}/\text{Cl}^-$ του νερού που απέμεινε.

Παίρνοντας $f = 0.77$, $\delta^2\text{H} = 3.1\text{‰}$ και $\delta^{18}\text{O} = 1.1\text{‰}$, υπολογίστηκε ο ε και επομένως η θερμοκρασία της εξάτμισης. Η θερμοκρασία που προκύπτει χρησιμοποιώντας το O^{18} συμπεριλαμβάνεται ανάμεσα σε 30 και 145°C και είναι χαμηλότερη από αυτή που παίρνουμε χρησιμοποιώντας το H^2H : $130^\circ\text{C} < t < 195^\circ\text{C}$ (Friedman and O'Neil, 1977). Αν υποθέσουμε όμως ότι έχουμε ένα ελαφρό εμπλούτισμό του O^{18} λόγω ισορροπίας τότε η διαφορά μηδενίζεται. Η θερμοκρασία των 195°C συμπίπτει με αυτή που προτείνει το ισοτοπικό γεωθερμόμετρο $\text{SO}_4-\text{H}_2\text{O}$ αν διορθωθεί ο εμπλούτισμός που οφείλεται στην εξάτμιση και υποθέσουμε βέβαια ότι η ισορροπία $\text{SO}_4-\text{H}_2\text{O}$ έλαβε μέρος. Οι λόγοι που επαυξάνουν αυτή την υπόθεση είναι επιπλέον οι υψηλές ιοντικές συγκεντρώσεις του διαλύματος σε σχέση με αυτές ενός θαλάσσιου κρύου νερού καθώς επίσης και η πολύ χαμηλή περιεκτικότητα σε Mg^{2+} που υποδεικνύει δευτερογενή φαινόμενα σε ένα περιβάλλον υψηλής θερμοκρασίας. Επομένως η συνδυασμένη ισοτοπική και γεωχημική προσέγγιση επιτρέπει να εκτιμηθεί η θερμοκρασία του βαθιού ταμιευτήρα.

Το χημικό γεωθερμόμετρο του πυρίτιου για την ίδια περιοχή προτείνει θερμοκρασία πολύ χαμηλότερη. Η χαμηλή τιμή σε πυρίτιο θα μπορούσε να εξηγηθεί από τη μικρή περιεκτικότητα του πετρώματος σε πυρίτιο (η πηγή αναβλύζει μέσα από δολομιτικούς ασβεστόλιθους) ή/και στο σύντομο χρόνο επαφής νερού πετρώματος. Η θερμοκρασία του ισοτοπικού γεωθερμομέτρου είναι της ίδιας τάξης μεγέθους με αυτή του $\text{Na}-\text{K}$ και $\text{Na}-\text{K}-\text{Ca}$ (Πίνακας 1).

3.2.3. Ισορροπία

Στο σχήμα 4 μεταφέρθηκαν οι ισοτοπικές τιμές του δείγματος Πολυχνίτου. Φαίνεται καθαρά ότι διαχωρίζεται από το θαλάσσιο νερό όχι μόνο από την τιμή του $\text{O}^{18}(\text{SO}_4)$, γεγονός που εξηγήθηκε με την ισορροπία $\text{SO}_4-\text{H}_2\text{O}$ (§.3.1), αλλά και από την ελάττωση του $\text{O}^{18}(\text{H}_2\text{O})$. Αυτή η ελάττωση δείχνει τη σημαντική συμμετοχή μετεωρικού νερού στο σύστημα (Michelot et al., 1993). Το ισοτοπικό γεωθερμόμετρο προτείνει τη θερμοκρασία των 140 ή 200°C εάν υποθέσουμε ότι η διάλυση των SO_4 προηγείται ή ακολουθεί της ισορροπίας. Τα χημικά γεωθερμόμετρα $\text{Na}-\text{K}$ και $\text{Na}-\text{K}-\text{Ca}$ προτείνουν αντίστοιχα θερμοκρασίες που μοιάζουν με τη χαμηλότερη και την υψηλότερη του ισοτοπικού γεωθερμομέτρου, κατατάσσοντας πιθανά την περιοχή Πολύχνιτου στα γεωθερμικά πεδία μέσης-υψηλής ενθαλπίας.

Οι θερμοκρασίες που αποδίδονται στο βαθύ ταμιευτήρα της περιοχής Νιγρίτας,

αν Δεχθούμε την τριτογενή-τεταρτογενή προέλευσης των θειϊκών είναι 130°C χρησιμοποιώντας το ισοτοπικό γεωθερμόμετρο χωρίς διόρθωση από την ισοτοπική κλασμάτωση $\text{CO}_2\text{-H}_2\text{O}$. Επειδή όμως πρόκειται για νερά καθαρά μετεωρικής προέλευσης πλούσια σε CO_2 ($p\text{CO}_2 = 1.2$) η διόρθωση (Fridman and O'Neil, 1977) θεωρείται απαραίτητη και η θερμοκρασία που προκύπτει είναι της τάξης των 140-150°C. Αν δεχθούμε την υποθέση της οξειδωσης θειούχων αλάτων και της αναγωγής τους τότε δεν μπορεί να βεβαιωθεί η ύπαρξη ισορροπίας. Όποια όμως και να είναι η προέλευση των υδατικών θειϊκών, η θερμοκρασία που προτείνεται το ισοτοπικό γεωθερμόμετρο είναι πολύ κοντά σε αυτή που προτείνεται το χημικό γεωθερμόμετρο του SiO_2 και του Na-Li (Πίνακας 1). Το θερμοδυναμικό μοντέλλο ισορροπίας ανάμεσα στα διαλύματα και τα ορυκτά συνηγορεί στην εφαρμογή του γεωθερμομέτρου του SiO_2 διότι το μοντέλο αυτό έδειξε τον υπερκορεσμό ως προς το πυρίτιο. Οι θερμοκρασίες που δίνουν τα γεωθερμόμετρα Na-K και Na-K-Ca είναι μεγαλύτερες, ίσως γιατί το μεν πρώτο εκφράζει την ισορροπία με τα ορυκτά της εξαλλοίωσης (Giggenbach et al., 1983) ενώ το δεύτερο δείχνει να έχει επηρεαστεί από την πιθανή καθίζηση του ασβεστίτη όπως γίνεται συχνά σε ανθρακούχα νερά με απώλεια μέρους του CO_2 . Επομένως η πιθανή θερμοκρασία του βαθιού ταμιευτήρα είναι της τάξης των 130-150°C.

4. ΣΥΜΠΕΡΑΣΜΑΤΑ

Η συνδυασμένη μελέτη των σταθερών ισοτοπικών ιχνηθετών, ^2H , $^{18}\text{O}(\text{H}_2\text{O})$, ^{34}S , $^{18}\text{O}(\text{SO}_4)$ και των διατηρημένων ιόντων (Cl^- , Br^-) επέτρεψε την εξακρίβωση της προέλευσης των υδατικών θειϊκών καθώς επίσης και τις διεργασίες που τροποποιούν την αρχική ισοτοπική τους σύνθεση, με τελικό σκοπό την εκτίμηση της θερμοκρασία του βαθιού ταμιευτήρα δια μέσου του ισοτοπικού γεωθερμομέτρου $\text{SO}_4\text{-H}_2\text{O}$.

Εξετάζεται η συμπεριφορά του ισοτοπικού γεωθερμομέτρου θειϊκών-νερού σε συνθήκες ανάμιξης (Πολύχνιτος), εξάτμισης ('Άγιος Φωκάς), οξειδοααναγωγής (Νιγρίτα, Λαγκαδάς, Βόλβη και Ελαιοχώρια) και ισορροπίας (Πολύχνιτος και 'Άγιος Φωκάς').

Η εφαρμογή του ισοτοπικού γεωθερμομέτρου θειϊκών-νερού στα παραπάνω γεωθερμικά πεδία της Ελλάδας συμβάλλει κύρια

- στην εκτίμηση της θερμοκρασίας του γεωθερμικού ρεζερβουάρ,
- στη γνώση της προέλευσης του νερού και της μεταλλοποίησής του, ειδικά των υδατικών θειϊκών,
- στην αναγνώριση και ερμηνεία των φαινομένων που επηρέασαν την ισοτοπική σύνθεση των σταθερών ισοτόπων του νερού και του θείου,
- στην κατανόηση του τρόπου λειτουργίας του γεωθερμικού συστήματος.

Στις περιοχές Λαγκαδά, Βόλβη, και Ελαιοχώρια η αναγνώριση των δευτερογενών φαινομένων δεν επιτρέπει να αποδοθεί με βεβαιότητα μια θερμοκρασία στον βαθύ γεωθερμικό ταμιευτήρα. Σε άλλες όμως, Πολύχνιτος, 'Άγιος Φωκάς και Νιγρίτα, ο συνδυασμός ισοτοπικής και γεωχημικής μελέτης επιτρέπει τη διόρθωση τόσο του ^{18}O του νερού όσο και των θειϊκών από τα φαινόμενα που καθορίζουν την τελική τους ισοτοπική σύνθεση, έτσι ώστε να αποδοθεί μια πολύ πιθανή θερμοκρασία στο βαθύ ταμιευτήρα.

ΒΙΒΛΙΟΓΡΑΦΙΑ

- ARNORSSON, S. (1975). Application of the silica geothermometer in low temperatures areas in Iceland. Am. J. Sci., 275, 763-784,
 ARNORSSON, S., GUNNLAAUGSSON, E. and SVAVARSSON, H. (1983). The chemistry of geothermal waters in Iceland. III. Chemical geothermometry in geothermal investigations. Geochim. Cosmochim. Acta, 47, 547-566.

- BOTTINGA, Y. (1968). Calculation of fractionation factors for carbon and oxygen isotopic exchange in the system calcite-carbon dioxide-water. *J. Phys. Chem.*, 72, 800-802.
- BOTTINCGA, Y. and CRAIG., H. (1968). High temperature liquid-vapor fractionation factors for H_2O -HDO- H_2O^{18} . *Am. Geophys. Union Trans.*, 49, 356-357.
- CRAIG, H. (1963). The isotopic geochemistry of water and carbon in geothermal areas. In : Nuclear geology in geothermal areas, C.N.R. Laboratorio di Geologia Nucleare, Pisa, 17-53.
- DOTSIKA, E. (1991). Utilisation du geothermomètre isotopique sulfate-eau en milieux de haute température sous influence marine potentielle : les systèmes géothermaux de Grèce. Thèse de Doctorat en Sciences, Université Paris-Sud. 184p.
- DOTSIKA, E. et MICHELOT, J.L. (1992). Origine et températures en profondeur des eaux thermales d'Ikaria (Grèce). *C. R. Acad. Sci. Paris*, 315, II, 1261-1266.
- FONTES, J. Ch. (1976). Isotopes du milieu et cycles des eaux naturelles: quelques aspects. Thèse ès Sciences, Univ. Paris VI, 208 p.
- FONTES, J. Ch. and MICHELOT, J. l. (1983). Stable isotope geochemistry in groundwater systems from Stripa. In : Geochemical and Isotope Characterization of the Stripa Groundwater - Progress Report. Stripa Project I.R. 83-01, SKBF/KBS, Stockholm, 74-104.
- FOUILIAC, C. and MICHARD, G. (1981). Sodium lithium ratio in water applied to geothermometry of geothermal reservoirs. *Geothermics*, 10, 55-70.
- FOURNIER, R. O. (1981). Application of water geochemistry to geothermal exploration and reservoir engineering. In: *Geothermal Systems: Principles and Case Histories*, Ryback L. and Muffler L. J. P. (Eds.), Wiley, New York, 109-143.
- FOURNIER, R. O. and RUESDELL, A.H. (1973). An empirical Na-K-Ca geothermometer. *Geochim. Cosmochim. Acta*, 37, 1225-1275.
- FREI, R. O. (1992). Isotope (Pb, Rb-Sr, s, O, C, U-Pb) geochemical investigations on Tertiary intrusives and related mineralisations in the Serbomacedonian Pb-Zn, Sb+Cu-Mo metallogenetic province in Northern Greece. Doctorat of Natural Sciences, Swiss Federal Institute of Technology (ETH) Zürich, 212p.
- FRIEDMAN, I. and O'NEIL, J. r. (1977). Complication of stable isotope fractionation factors of geochemical interest. In : *Data of geochemistry*, 6th Ed. Geol. Survey Prof. Paper 440 KK. 106 p.
- FRITZ, P. and FONTES, J. Ch. (1980). Handbook of environmental isotope geochemistry (Vol. 1), The terrestrial environmental (A), FRITZ, p. and FONTES, J. Ch. (Eds.), Elsevier, Amsterdam, 545p.
- GIGGENBACH, W.F. (1971). Isotopic composition of waters of the Broadlands Geothermal Field. *N. Z. J. Sci.*, 14, 959-970.
- GIGGENBACH, W. F., GONFIANTINI, R., LANGI, B., and TRUESELL, A. H. (1983). Isotopic and chemical composition of Parbatti Valley geothermal discharges, North-West Himalaya, India. *Geothermics*, 12, 2/3, 199-122.
- GONFIANTINI, R. BORSI, S., FERRARA, G. and PANICHI, C. (1973). Isotopic composition of waters from the Danakil depression (Ethiopia). *Earth Planet. Sci. Lett.*, 18, 1, 13-21.
- KOCKEL, F., MOLLAT, H. and WALther, H. (1977). Erläuterungen zur geologischen Karte der Chalkidiki und angrenzender Gebiete 1: 100000 (Nord-Criechenland). Bundesanstalt für Geowissenschaften und Rohstoffe, Hannover, 119p.
- KUSAKABE, M. and CHIBA, H. (1979). Oxygen isotope geothermometry applicable to sulfate minerals from the Kuroko deposits. *Mining Geology*, 29, 4, 257-264.
- LLOYD, R. M. (1968). Oxygen isotope behaviour in the sulfite-water system. *J.*

- Geophys, Res., 73, 6099-6110.
- MICHELOT, J. L... DOTSINKA, E. and FYTIKAS, M. (1993). A hydrochemical and isotopic study of thermal waters in Lesvos island (Greece). Geothermics, 22, 2, 91-99.
- MIZOUTANI, Y. and RAPTER, R. A. (1969). Oxygen isotopic composition of sulfates, 3. Oxygen isotopic fractionation in the disulfate-water system. N. Z. Sci., 12, 54-59.
- NTOTSEIKA, E. και MICHELOT, J. L. (1993). Υδροχημεία ισοτοπικοί λόγοι και προέλευση των γεωθερμικών ρευστών της Νισύρου (Δωδεκάνησος). 6^o Συνέδριο της Ελληνικής Γεωλογικής Εταιρίας, 25-27 Μαΐου 1992, Δελτ. Ελ. Γεω. Ετ., XXVIII, 2, 293-304.
- O'NEIL, J. R., ADAMI, L. H. and EPSTEIN, S. (1975). Revised value for the ^{18}O fractionation between CO_2 and H_2O at 250c. J. Res. U. S. Geol. Survey, 3, 623.
- PANICHI, C., CELATI, R., NOTO, P., SQUARCI, P., TAFFI, L. and TONGIORGI, E. (1974). Oxygen and hydrogen isotope studies of the Larderello (Italy) geothermal system. In : Isotope Techniques in Groundwater Hydrology, A.I.E.A., Vienne, 2, 3-28.
- ΠΟΥΤΟΥΚΗΣ, Δ. και ΝΤΟΤΣΙΚΑ, E. (1993). Υδρογεωχημική και ισοτοπική έρευνα των νερών της περιοχής των Λουτρών Λαγκαδά και Βόλβης. 2^o Συνέδριο Υδρογεωλογίας, 24-28 Νοεμβρίου 1993, Πάτρα, Δελτ. Ελ. Γεωλ. Ετ., (Υπό εκτύπωση).
- RAPTER, R. A. and MIZUTANI, Y. (1967). Oxygen isotope composition of sulfates, 2, Preliminary results on oxygen isotopic variation in sulphates and relationship of their environment and to their $d_{34}\text{S}$ values. N. Z. Sci., 10, 816
- TRUESDELL, A. H. and JONES, B. F. (1974). WATEQ, a computer program for calculating chemical equilibria of natural waters. J. Res. U. S. Geol. Survey, 2, 233-248.